

SB

III-5256

58⁺, 203. (J)

1924

Ruark, Hohler, Foote, and
Chenault

1. Natl. Bur. Standards Sci. Papers 19,
463 (1924)

Circ. 500

10

W. W. Hansen
Circular Polarization Co.
Copenhagen, Denmark.

$Sb^{+4}_{(2)}$

Bsp - 3236 - III

1927

Lang R. J.

(3)

"Phys. Rev."

1927, 30, 762-69

III 3421 56st; 2; (7)

1927

Lang

b. S. Proc. Natl. Acad. Sci. U.S.A. 13, 343 (1927)

Circ. 500

10



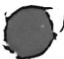
$\text{16}^{\text{+}}$ 3466 Sb^{++} , Sb^{+++} ; 2; (J)

1927

Narayan and Rao
1.Z.Physik 45, 350 (1927)

Sn; 2; (exp. cond.)

Circ. 500



10

16 3463

1927

Rao

1. Proc. Phys. Soc. (London) 39, 408
(1927)

As, 2; E $\cos\theta$

Sb⁺⁺; 2; (J)

Sb³⁺; 2; (J)

Circ. 500

H0

Sb^+

B92-3222-II 1928.

Green J.B. et al.

(y)

"Phys. Rev", 31, 707,
1928

"The arc spectrum of antimony"

Sb^{+2}
 $(^2)$

Sb^{+3}
 $(^2)$

Bq - 3235-III

1928

Lang R.J.

"Phys. Rev."

(y)

1928, 32, 737-45

Sb^{+5}

BQ - 3234 - III

1929

Lang R.J.

(y) "Phys. Rev"

1929, 34, 697-711.

S_6^{+2} ;

BqP - 3233 - III

1930

S_6^{+3}
(₂)

Lang R. J.

(?)

"Phys. Rev."

1930, 35, 664.

$ff + (I)$

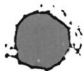
U 2405

1931

Dhavale D. G.

2. Proc. Roy. Soc. (London) A 131, 109
(1931)

Circ. 500



SB (J)

II 2598

1932

Lang R. J., Vestine E. H.

Phys. Rev. 1932, 42, 233-41

"The first spark spectrum of
antimony."

ЕСТЬ Н.

2

10

✓ 1933

C.A. 1933, 23

SB_e

(I, S^o)

General T.

Phys. Rev., 1933,
44, 468-9

DP-3159 - III | 1933

SB]

Түніков Қ. Р.

1939

М. экспер. и инв. №

9, 56(1939)

Sb (J)

2908-11

1942

Meggers Wm. F., Humphreys C. J.

J. Research Natl. Bur. Standards 1942,
128, 463-78 (Research Paper No. 1464)

The first spectrum of antimony.

E.G.T. 5/16/42

H.O.

C.A. 1942, 4413

B.M.F.

10

III-1117

1947

J (Nb; Tc; Pm; Ho; Er; Tu; Lu; Hf;
Ta; W; Po; At; Fr; Ac; Th; Pa; U;
Sh; Rb; Pd)

Finkelnburg W.

Z. Naturforsch. 1947, 2a, 16-20

"Ionization potentials and electron
screening in the periodic system".

C.A., 1947, 6785f.

W

8crb gp.k.

Sb⁺⁺ (V_i)

2022-II

1947

Murakawa K., Suwa S.

Repr. Inst. Sci. Tech. (Tokyo Univ.)

1947, 1, 90-2, 121-4

The atomic spectra of antimony II,
antimony III, and bismuth II.I.II.

C.A., 1951, 3238d

2160-III 1948

Bi⁺, Sb⁺ (γ_1)

Yanagouchi T.

Rept. Inst. Sci. and Technol. Univ. Tokyo
1948, 2, 95-7

Energy levels of BiII 6p6d and
SbII 5p6p

O. A., 1951, 60481

10

III-1139-57; BB-53882-11

Tc, Po, At, Fr, Po^+ , At^+ , Ru^+ , Fr^+ , Act^+ , I950

P, As, Bi, As^+ , Br^+ , Sb^+ , Te^+ (I)

Finkelnburg W., Stern F.

Phys. Rev. I950, 77, 303.

Electron screening and ionization
potentials of neutral and singly ionized
atoms.

C.A., I950, 44, 2844a

HO

see p. x.
(2)

III - 1089-BP; BP - 5486-II

1953

Se^+ , Zn^+ , B^+ , Cu^+ , H_2S^+ (I)

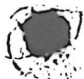
Kr^{++} , He^+ , F^+ , $\underline{\text{Sb}}^{++}$, A^+ , N^+ , Kr^+ , O^+ , Cl^+ ,
 Br^+ , C^+ , P^+ , S^+

Lindholm E.

Proc. Phys. Soc. (London), 1953, 66A, 1068-70

Ionization and fragmentation of molecules by bombardment with atomic ions.

Ch.A., 1954, 6236d



8cm 9. x.

1999-III

J (Sb)

1954

Geballe T.H., Horin E.J.

Phys. Rev., 1954, 95, N 4,
1085-1086

Ionization energies of groups III
and V elements in germanium

PL, 1955, N 7, 11221

10

ecus
optc

2697-III

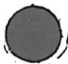
Sb⁺ (A.P.)

1963

Saalfeld F.E., Svcc H.J.

Inorg.Chem., 1963, 2, II 1, 46-50

PX., 1963, 24656



MSO

orig

56

Hults M., Mrozowski, 1964

crescūp

Z. Opt. Soc. Am., 54(7), 855-
8

Multipole lines in spectra
of elements from the fifth
group.

(cres. Bi)

Bβ-III ~ 5334 Å

58

Politzer P.

1968

Trans. Far. Soc.,

64, N9, 2241

(all Ga) III

1970

SB

Чаркин О. Г.,
Демченко Н. Е.

5, Аб

Строение пещер и
кавені. Хрестоматія. Київ,
"Наук. думка", 1970,

163

(Сел. Аб) III

SB

Hudson J. E.

1940

Pennsylvania State Univ., Uni-
versity Park, Pa). 1969, '105 pp.
(Bugs). Avail. Univ. microfilms,
Ann Arbor, Mich., Order No,
40-4211. From Diss. Abstr. Int.
B 1970, 30, 11, 4948.

"Electron impact studies
of arsenic and antineous
vapors" (Ces. As) III

Sb

XIII-844

1970

6 Д127. Определение энергии электронного сродства атомов сурьмы и висмута методом поверхностной ионизации, применимым к элементам со сложным составом пара. Зандберг Э. Я., Палеев В. И. «Докл. АН СССР», 1970, 190, № 3, 562—564

Для определения электронного сродства S атомов элементов со сложным составом пара, степень диссоциации молекул которого на эмиттере зависит от т-ры, сравниваются токи атомных отрицат. и положит. ионов двух трудноионизуемых элементов, получающиеся при одновременной поверхн. ионизации обоих элементов на неоднородных по отношению к работе выхода эмиттерах. Определяются разность электронного сродства атомов этих элементов и искомая величина S при из-

A (e^-)

оп. 1970. 68



+2

X

вестном сродстве второго (опорного) элемента. С помощью масс-спектрометрической техники измерены разности $(S_{Ag} - S_{Sb}) = (0,40 \pm 0,07)$ в и $(S_{Ag} - S_{Bi}) = (0,14 \pm 0,06)$ в при одновременной ионизации на вольфрамовой проволоке пар соответствующих элементов. Сродство опорного элемента — серебра определено методом сравнения температурных зависимостей тока отрицательных ионов серебра и термоэлектронного тока: $S_{Ag} = 1,90 \pm 0,15$ в.

56

1971

Cabaud B., Vean R., Nounou P.

(9)

Adv. Mass Spectrom. Vol 5.
London, 1971, 399-403.

● Cu dg; iii

1972

Sb

1 Е47: Кооперативный туннельный эффект в полупроводниковых соединениях сурьмы со смешанной валентностью. Александров А. Ю., Ионов С. П., Балтрунас Д. А., Макаров Е. Ф. «Письма в ЖЭТФ», 1972, 16, № 4, 209—214

С помощью эффекта Мёссбауэра исследовано изменение распределения электронной плотности в кристаллах Cs_2SbCl_6 и $RbSbCl_6 \cdot 2 Rb_3SbCl_6$ при фазовом переходе. Подтверждена модель (РЖФиз, 1971, 5 Е407) фазового перехода типа электронный «порядок — беспорядок». В высокотемпературной фазе на каждый центр Sb приходится по одному электрону, и электроны делокализованы. В низкотемпературной фазе электроны локализуются с различной плотностью на четных и нечетных центрах.

Ю. И. Балкарей

СР.Ф. №. 73-1

Sb_4^+ , Sb_3^+ , Sb_2^+ , $\underline{Sb^+}$, Bi_4^+ , Bi_3^+ (AT) 1972

Sb_4 , Sb_3 , Bi_3 (ΔH ; ΔH_{sub}) XIII 2217

Sullivan C., Ćazar, Prusaczyk J.E.,
Corliss K.D.

High. Temp. Sci., 1972, 4, N3, 212-221 (QH72.)

Heats of reaction for the $Sb_4 = 2Sb_2$ equilibrium
and sublimation of Sb_3 and Bi_3 in the vaporiza-
tion of antimony and bismuth with zinc

PH 12/83, 1973

edit T. Czerw

5, 10, M(9), 15

40607.6759

Sb

61102 02

1973.

MGU, Ph, TC

спекулян

ХУ5162

Belin G., Garpmann S., Holmgren L., Rydberg S. Lifetimes for the $5p^2 6s^4 P_{3/2}$ and $4P_{5/2}$ levels in Sb I obtained by the Hanle method. "Phys. scr.", 1973, 9, N 4, 213-216

(англ.)

0126 НКН

100 103

8 1 18

ВИНИТИ

Li, Na, K, Rb, Cs, B, Ga, Tu, Te, Ge,
Lu, Cr, P, As, Se, Bi, Te (He-) 1973

X 8043

Feldmann D., Rackwitz R.,
Hennicke S., Kaiser H.J.,
Phys. Lett. 1973, A 45, N° 5,
404

10

13

98 -

1973

A-2710

MAKITA T., et al.

He
Mass spectros., 1973, 21,
N 4, 293-301.

O; S; H; Cu; Ca; Ba; Sr; Ag; Au; Te
Sb; Mg; Be; Bi; Cr; W; Mo; Re 1973
шестой кв. (A) 184478

Зефиринов А.В.

Zer. сибирьки. Химия, 1973, 14,
N4, 762-65

10 ⑨

6 g¹⁰

1974

S8

Roetti G., Clementi L.,
J. Chem. Phys., 1974,
61, N5, 2062-63.

$\mathcal{I}_j \mathcal{E}_i$, puerom

(cas. Li; III)

50603.4780

Ph, TC, MGU

61102

Sb

1975

445-8971

Holmgren Lennarth. Theoretically calculated transition probabilities and lifetimes for the first excited configuration $np^2(n+1)s$ in the neutral As, Sb, and Bi atoms. "Phys. scr.", 1975, 11, N 1,

15-22

(нагл.)

03/0 смк

355 356 362

ВИНИТИ

86

1976

Chou W.S., et al.

(
nobel
laureate
recognition)

Electron. Transit.
Lasers, Cambridge,
class. - London, 1976,
125-87.

(av. A8)

36 Maijs Y. 1976

Yatov. PSR Zinat Akad

Vestis Kim Ser 1976(4).

(A ī)

494-5 (Kuss)

(eeu Hg; ii)

56-

Feldmann D.

1977

"Z. Phys", A, 1977,
282(2), 143-8.

(ромбоморф,
полиэдр. структ.)

(авт. Р-) III

86

Husain ♀.

1977

"Ber. Bunsenges. phys. Chem.",
1977, 81, N2, 168-177.

Jcr. 605.
cocci.

X. 1977. 16.

(acc. C) III

Sb

annalen 8961

1979

Brändus L.

Rev. Roum. phys.
1979, 24, (6), p. 559-60.

(y)

Sb

1979

Kuzinaga S.

J. Chem. Phys. 1979, 71, N⁴,
1980-81

no. 662
part.

att. S₁₂ - III

Sb VII
Te VIII

(5)

⊗

1979
9 Д312. Анализ переходов $4d^9 - 4d^85p$ в Sb VII и Te VIII и ионизационные пределы Sb VI и Te VII. Van Kleef Th. A. M., Joshi Y. N. Analysis of $4d^9 - 4d^85p$ transitions in Sb VII and Te VIII and the ionization limits of Sb VI and Te VII. «J. Opt. Soc. Amer.», 1979, 69, № 1, 132—140 (англ.)

На вакуумных спектрографах скользящего падения излучения с решетками радиусов 6,60 и 10,7 м в области 100—625 Å изучены спектры Sb и Te, возбуждаемые в скользящей и трехэлектродной искрах. Полуэмпирич. методом с помощью экстраполяции слэтеровских параметров и спин-орбитальных интегралов вдоль изоэлектронной последовательности Ag III—Sn VI выполнены расчеты энергетич. структуры конфигураций

20,3

Ф.1979Н9

$4d^9$ и $4d^85p$. Расчеты использованы для идентификации переходов $4d^9 \rightarrow 4d^85p$ в ионах Sb VII и Te VIII, в каждом из которых классифицировано ~ 30 из 45 возможных уровней конфигурации $3d^85p$. Изучены закономерности в соотношении полуэмпирических и хартри-фоковских параметров для конфигураций $3d^9$ и $3d^85p$ вдоль изоэлектронного ряда Ag III—Te VIII. Идентифицирован также ряд переходов в основное состояние в ионах Sb VI и Te VII и найдены энергии уровней $3d^95p$, $3d^96p$ и $3d^94f$. Это позволило уточнить энергии ионизации данных ионов, которые теперь составляют: Sb VI — 99,0 (1,0) эв и Te VII — 124,0 (1,2) эв. Библ. 21.

А. Н. Рябцев

1979

Sb

92: 49714z A new autoionized series in atomic antimony.
Mazzoni, M.; Joshi, Y. N. (St. Francis Xavier Univ., Antigonish,
NS Can. B2G 1C0). *Physica B+C (Amsterdam)* 1979, 97(1),
107-11 (Eng). The absorption spectrum of at. Sb was obsd. in
the region 2300-1200 Å using the flash pyrolysis technique. A
new autoionized series of lines was obsd. in the region 1600-1300
Å. These lines were identified as the transitions $5s^2 5p^{32} p_{3/2}^- =$
 $5s_2 5p_2 (1S_0 \text{ and } 2D_{5/2}, n = 5 \rightarrow 19)$. The ionization limits of Sb I were
reduced by 62 cm^{-1} , giving the 1st limit 8.632 eV. Two other
autoionized lines are also reported. Thirteen addnl. lines were
identified as transitions within the existing energy level scheme.

(Ei)
onekmp
not checked

C.A.1980. 92, N6

7979
Sb(I)

12 Д262. Новые автоионизационные серии в атомах
сурьмы. A new autoionized series in atomic antimony.
Mazzoni M., Joshi Y. N. «Physica», 1979, BC97,
№ 1, 107—111 : (англ.)

Изучен спектр поглощения атомов SbI в области
длин волн 1200—2300 Å. Спектр регистрировался на
3-м спектрографе норм. падения, в качестве стандартов
длин волн использовались известные линии поглощения
SbI, а также линии излучения ионов кислорода и углеро-
да источника. Точность измерения длии волн составля-
ла ~0,01—0,1 Å. В области 1300—1600 Å зарегистриро-
вана не наблюдавшаяся ранее автоионизационная се-
рия $5s^25p^3\ ^2P_{3/2}^0 - 5s^25p^2(^1S_0)nd^2D_{5/2}$ ($n=5-19$). Опреде-
ленный по границе этой серии потенциал ионизации
SbI составил величину 69638 см^{-1} . Идентифицировано
также 13 новых спектральных линий, принадлежащих
переходу $5s^25p^3 - 5s^25p^2nS$.

С. Ч.

Ф.И.Ч.К.Н.В.

56

1 Д331. Эмиссионные измерения вероятностей перехода $5p^3 - 5p^2 6s$ нейтральной сурьмы. Transition probabilities derived from emission measurements for the system $5p^3 - 5p^2 6s$ of neutral antimony. Guegn Y., Lotrian J. «J. Quant. Spectrosc. and Radiat. Transfer», 1980, 24, № 2, 133—136 (англ.)

1980

С помощью описанной ранее авторами эксперим. методики (Lotrian J. et al. «J. Phys.» 1978, B11, 2273) измерены относит. вероятности радиационного распада $5p^2 6s(^4P_{1/2,3/2,5/2}, ^2P_{3/2,5/2}, ^2D_{3/2,5/2})$ -уровней в $5p^3(^4S_{3/2}^0, ^2D_{3/2,5/2}^0, ^2P_{1/2,3/2}^0)$ -состояниях атомах Sb¹¹⁵. Излучение оптически тонкой на исследуемых переходах плазмы полого катода регистрировалось с помощью 1-м монохроматора по схеме Ролланда — Водара и 3,4-м спектрометра Эберта — Фасти. Полученные данные прокалиброваны по литературным данным об абр. измерениях времен жизни и сравниваются с результатами теоретич. расчетов.

К. Н. К.

($E_i; \gamma$)

Д. 1981.07.1

Однинчек 10009

1980

Sb (VII)

(Ei)
спектр

з Д510. Анализ $4d^85s - 4d^85p$ - и $4d^9 - 4p^54d^{10}$ -переходов в Sb VII. Analysis of $4d^85s - 4d^85p$ and $4d^9 - 4p^54d^{10}$ transitions in Sb VII. Van Kleef Th. A. M., Joshi Y. N. «J. Opt. Soc. Amer.», 1980, 70, № 8, 895—900 (англ.)

Исследован спектр излучения ионов сурьмы в области длии воли $600 \div 100 \text{ \AA}$. Для возбуждения спектров использовалась вакуумная искра. Спектры регистрировались с помощью 10,7-м дифракционного спектрометра норм. падения. Погрешность измерения длии воли в большинстве случаев составляла $\pm 0,005 \text{ \AA}$, хотя для некоторых малоинтенсивных линий была $\pm 0,01 \text{ \AA}$. Определены энергии уровней, принадлежащих конфигурациям $4d^85s$ (16 уровней), $4d^85p$ (13 уровней) и $4p^54d^{10}$ (2 уровня) иона Sb VII. Идентифицировано 177 новых линий в спектре излучения Sb VII. Библ. 14.

И. Ю. С.

φ-1981N3

S.8

1981

Cheng Wan-Xia, et al.

Eu-tan Hsueh Pao,

Tzu Yen K'o Hsueh

Pao 1981, 20(2), 155-160.

(cup. Bi; II°).

Chekip, Ei
Czabulice
C. IADY. NBS

S8

Lommuek 12383

1981

See K.D., et al.

(Ae) J. Chem. Phys, 1981,
75 (2), 1037 - 1038.

Sb

1984

(g)

101: 140226g Rydberg series in atomic antimony limiting on
 $5p^2 \ ^3P$. Joshi, Y. N.; Sarma, V. N.; Van Kleef, T. A. M. (Phys.
Dep., St. Francis Xavier Univ., Antigonish, NS Can. B2G 1C0).
Physica B+C (Amsterdam) 1984, 125(1), 127-34 (Eng). The
absorption spectrum of Sb was photographed at 1000-2300 Å on a
3-m normal incidence spectrograph using flash pyrolysis technique.
The new measurements have lead to revision and extension of the
earlier anal. Three series limiting on $5p^2 \ ^3P_0$, 6 series limiting on $5p^2 \ ^3P_1$, and 4 series limiting on $5p^2 \ ^3P_2$ of Sb II were identified. A new value of the ionization potential of Sb
I was $69,432 \pm 20 \text{ cm}^{-1}$ (8.61 eV).

c.A.1984, 101, N16

S8

1984

Robles Juvencio; Bartolotti
Libero J.

fe, pacrem
y, Zelkmpo-
ompasuram.

J. Amer. Chem. Soc.,
1984, 106, N13, 3723-
-3727.

(Cu. Os; III)

Sb

[Om. 18722] 1984

100: 218228k Absorption spectrum of antimony by a flash pyrolysis technique. Zaidi, A. A.; Makdisi, Y.; Bhatia, K. S. (Dep. Phys., Kuwait Univ., Kuwait, Kuwait). *J. Phys. B* 1984, 17(3), 355-70 (Eng). The absorption spectrum of Sb vapors was photographed in the spectral range 1425-2530 Å with a 3 m normal incidence vacuum spectrograph using a flash pyrolysis technique. Over 400 spectral lines were classified as a combination between 5 odd parity levels of the ground-state configuration and 141 even parity levels. One long and 4 short series of the $5s^25p^2(^3P_{0,1,2})ns$ configuration are listed. Fifty-eight new levels were added to the previous anal.

Chekmp 10-

Walls,

Si

C.A. 1984, 100, N 26

Sb(I)

1986

105: 105096a Bound, odd-parity Rydberg spectra of antimony (Sb I): $5s^25p^2np$ and $5s^25p^2nf$ series for $J = 1/2, 3/2$, and $5/2$. Beigang, R.; Wynne, J. J. (Thomas J. Watson Res. Cent., IBM, Yorktown Heights, NY 10598 USA). *J. Opt. Soc. Am. B: Opt. Phys.* 1986, 3(7), 949-58 (Eng). The odd-parity spectrum of Sb was measured by 2-photon excitation from the ground electronic state. Data are presented for the energies of 112 bound states, most of which belong to 3 Rydberg series converging on the ionization limit. The spectrum was analyzed by multichannel quantum defect theory. A value of $69,431.4 \pm 0.1 \text{ cm}^{-1}$ was detd. for the ionization limit.

C.A. 1986, 105, N/2

58

Dm. 23111 /

1986

Dyke J.M., Morris A.,
Stevens J.C.H.

creeps

Chem. Phys., 1986, 102,
N 1-2, 29-36.

Sb (II)

1986

(xi)

104: 138568p Theoretical and experimental analysis of the fine structure and hyperfine structure in the configurations $5p6s$ and $5p6p$ of the antimony (Sb II) spectrum. Voss, M.; Weiss, W.; Winkler, R. (Opt. Inst., Tech. Univ. Berlin, D-1000 Berlin, 12 Fed. Rep. Ger.). *Z. Phys. D: At., Mol. Clusters* 1986, 1(2), 157-66 (Eng). From 17 transitions in the singly ionized Sb II spectrum, the hyperfine structure (A and B splitting consts.) of the complete excited configurations $5p6s$ and $5p6p$ were detd. by means of optical interference spectroscopy. In addn., a theor. anal. both of the fine structure and also of the hyperfine structure was carried out (in the case of $5p6p$ of the general type $npn'p$ for the 1st time). For the 3 levels $5p6p$ 3P_1 , $5p7p$ 3D_2 and $5p6p$ 1P_1 , a different classification was found, and consistent values for the fine structure parameters, mixing coeffs., and single electron hyperfine structure splitting parameters a_{nl^k} and b_{nl^k} were obtained. The 3 new detns. in Sb II of the quadrupole moment (in barn) of ^{121}Sb ($Q(5p6s) = -0.55(5)$; $Q(5p6p) = -0.57(5)$ from the $5p$ -electron and $Q(5p6p) = -0.7(2)$ from the $6p$ -electron) agree with each other, but differ to former values from Sb I. The core polarization and isotope shift of the lines, however, are compatible with former results in Sb I.

C.A. 1986, 104, N/6

$Sb^+(n)$ [Om. 25173] 1986

Wheeler R.G., Laihing K.,
et al.

A.P. Chem. Phys. lett., 1986,
131, N 1-2, 8-13.

Sb⁺

1987

З Л127. Исследование уровня $5s5p^{35}S_2^0$ в Sb II.
Investigation of the level $5s5p^{35}S_2^0$ in Sb II. Агсімовіць B., Aufmuth P. «J. Opt. Soc. Amer.», 1987, B4,
№ 8, 1291—1292 (англ.)

В области 200—260 нм идентифицированы 3 линии переходов с уровня $5s5p^{35}S_2^0$ Sb II на уровне основной конфигурации $5s^25p^2$. Это позволило найти энергию неизвестного ранее нижайшего уровня конфигурации $5s5p^3 E(^5S_2^0) = 51\,723 \text{ см}^{-1}$. С помощью сканирующего интерферометра Фабри—Перо исследована сверхтонкая структура линий, подтверждающая идентификацию. Найдены постоянные сверхтонкой структуры A и B.

А. Н. Рябцев

φ. 1988, 18, № 3

1988

86

18 Б1217

18 Б1217. Изотопный состав сурьмы. The isotopic composition of antimony. De Laeter J. R., Hosie D. J. «Int. J. Mass Spectrom. and Ion Process.», 1988, 83, № 3, 311—318 (англ.)

Для уточнения изотопного состава Sb использован метод МС с термич. ионизацией (т-ра 1340° С) тв. образцов природной сурьмы, обработанной 6 М р-ром HCl и миним. кол-вом HNO₃. Измеренное соотношение ¹²¹Sb : ¹²³Sb (для исключения возможности изотопного фракционирования проводилось не менее 150 измерений при достаточно малых навесках — 5 мг) равно $1,3453 \pm 0,0014$, что отвечает составу изотопов $57,362 \pm 0,026$ и $42,638 \pm 0,026\%$ соотв. Атомный вес Sb составляет $121,757 \pm 0,003$. Д. В. Загоревский

изотопный
состав

X, 1988, 19, N 18

Sb

1988

109: 156788t The isotopic composition of antimony. De Lee,
J. R.; Hosie, D. J. (Dep. Appl. Phys., Curtin Univ. Technol., Perth,
Australia). *Int. J. Mass Spectrom. Ion Processes* 1988, 89,
311-18 (Eng). The isotopic compn. of antimony in synthetic mix.
prep'd. from highly enriched ^{121}Sb and ^{123}Sb tracers has been
measured by solid source mass spectrometry. This has enabled the
isotopic compn. of natural antimony to be detd. to give a $^{121}\text{Sb}/^{123}\text{Sb}$
ratio of 1.3453 ± 0.0014 , which yields atom percents of $^{121}\text{Sb} = 57.07 \pm 0.026$
and $^{123}\text{Sb} = 42.638 \pm 0.026$. The at. wt. calcd. from the
isotopic compn. is 121.757 ± 0.003 . The indicated uncertainty in the
at. wt. is an overall limit of error based on two std. deviations of the
mean of the measured ratios and an allowance for the effects of
known sources of possible systematic errors. This value for the at.
wt. is in good agreement with the presently accepted value of 121.757 ± 0.03 as set by the International Union of Pure and Applied Chem.

WJOMONUR.
CIMAB

C. A. 1988, 109, N 18

Sb I

1988

№ 6 Л105. Изучение тонкой и сверхтонкой структур в спектре нейтральной сурьмы ($^{121}\text{Sb I}$). Study of fine and hyperfine structures in the spectrum of neutral antimony ($^{121}\text{Sb I}$) / Hassini F., Ahmed Z. Ben, Robaux O., Vergès J., Wyart J.-F. // J. Opt. Soc. Amer. B.— 1988.— 5, № 10.— С. 2060—2075.— Англ.

(Ei)

Исследуется спектр атомов $^{121}\text{Sb I}$ в области 2536—24 786 см $^{-1}$, возбуждаемый в безэлектродной 2,45-ГГц разрядной лампе и зарегистрированный на фурье-спектрометре с реальным разрешением порядка 0,01—0,04 см $^{-1}$. Измерены длины волн 617 спектральных линий Sb I, принадлежащих переходам между конфигура-

φ: 1989, № 6

циями с одним возбужденным $5p$ -электроном ($5p^2nl$). В результате анализа найдены энергии 32 уровней и определены постоянные сверхтонкой структуры A и B для большинства зарегистрированных переходов. Идентификация проводилась на основе расчетов методом Слэтера — Кондона, при определении постоянных A и B использовался параметрич. анализ с помощью многоконфигурац. собств. ф-ций. Заново проведен анализ высоколежащих нечетных состояний с $J=1/2, 3/2$ при использовании многоканальной теории квантового дефекта. Библ. 23.

С. Ч.

121 88(I)

1988

110: 47566u Study of fine and hyperfine structures in the spectrum of neutral antimony (^{121}Sb I). Hassini, F.; Ahmed, Z. Ben; Robaux, O.; Verges, J.; Wyart, J. F. (Fac. Sci., Univ. Tunis, Tunis, Tunisia). *J. Opt. Soc. Am. B: Opt. Phys.* 1988, 5(10), 2060-75 (Eng). The spectrum of neutral ^{121}Sb emitted by an electrodeless discharge lamp was obsd. at $2536\text{-}24786 \text{ cm}^{-1}$. The wavelengths of 617 lines were measured. The hyperfine-structure splitting factors of the levels were established for 77% of these lines. Thirty-two new energy levels were found, and several J values were revised. The Slater-Condon method was used for the interpretation of levels in both parities, and the multiconfiguration eigenfunctions were applied to the parametric study of the hyperfine-structure factors A and B . The multichannel quantum-defect theory anal. of high odd levels having $J = 1/2$ and $J = 3/2$ was revised.

Si.

C.A. 1989, 110, N6

Sb

1989

111: 183347w Inner 4d-subshell photoabsorption spectrum of antimony (Sb I). Mazzoni, M.; Joshi, Y. N. (Dip. Astron. Sci. Spazio, Univ. Firenze, 50125 Florence, Italy). *J. Phys. B: At., Mol. Opt. Phys.* 1989, 22(16), 2485-92 (Eng). Several strong features were obsd. in the 450-250 Å wavelength region of the photoabsorption spectrum of neutral antimony. On the basis of the Hartree-Fock and least-squares-fitted calcns. they were ascribed to electronic excitation from the inner 4d subshell to outer $5s^25p^3np$ orbitals, followed by photoionization. Seventeen lines were assigned to the $5s^25p^3-4d^95s^25p^4$ transition array and 16 lines to the $5s^25p^3-4d^95s^25p^3np$ ($n > 5$) transition array. The ionization limit were estd. at $324,000 \pm 500$ cm^{-1} (40.16 ± 0.01 eV). The attribution of 5 obsd. transitions to other 2 core-excited configurations was proposed.

C.R. 1989, 111, N 20

C.R. 1989, 111, N 20

88

(OM 35179)

1990

Musolino V., Toscano et al.

Декомп.

et al.,

антик-
мута,
спомог.

J. Comput. Chem., 1990,
11, N 8, 924-29.

анекд. Electronic structure and
photoelectron spectra of

Sb_2 and Sb_4 from LocalSpin -
- Density Calculations
Model Potential for Sb .

1992

15 Б1137. Фотоэлектронная спектроскопия малых кластерных анионов сурьмы: Sb^- , Sb_2^- , Sb_3^- и Sb_4^- . Photo-electron spectroscopy of small antimony cluster anions: Sb^- , Sb_2^- , Sb_3^- , and Sb_4^- /Polak Mark L., Gerber Gustav, Ho Joe, Lineberger W. C. //J. Chem. Phys. —1992.—97, № 12.—С. 8990—9000.—Англ.

Измерены возбуждаемые Ar^+ -лазером (линия 351 нм, в случае Sb_2^- использовалась также линия 364 нм) фотоэлектронные спектры кластеров Sb_n^- ($n=1—4$), образующихся в разрядном источнике с холодным Sb -катодом и предварительно разделенные по массе. Определены величины сродства к электрону (СЭ) Sb , Sb_2 , Sb_3 и дана оценка СЭ Sb_4 (соотв. 1,046; 1,282; 1,85 и $<1,00$ эВ). В ФЭС Sb_2^- наблюдалось несколько переходов с участием низколежащих электронных состояний аниона и нейтр. молекулы. Для большинства переходов выполнен франк-кондоновский анализ распределения интенсивности в разрешенной колебат. структуре. Рассчитаны след. значения электронных термов (T_0 относительно основного состояния Sb_2), ω_e (в cm^{-1}) и R_e (в Å): Sb_2^- ,

15

(13)

X. 1993, N 15

состояние $^2\pi_g(1/2_g)$, $T_0 = -10\ 340, -242, -2,573$; состояние $^2\pi_g(3/2_g)$ $T_0 = -7880, -236, -2,571$; Sb_2 , состояние $^3\Sigma_u^+$ (1_u) $T_0 = 9420, -205, -2,694$; состояние $^3\Sigma_u^+$ (O_u^-) $T_0 = 10\ 480, -187, -2,701$; состояние $^3\Delta_u(2_u)$ $T_0 = 13\ 830, -221, -2,665$; состояние $A^3\Delta_u(1_u)$ $T_0 = 14\ 970, -215, -2,654$. При анализе использовались известные значения постоянных основного состояния Sb_2 ($\omega_e = 269,25$, $\omega_e x_e = 0,53$, $R_e = 2,4878$). В ряде случаев анализ провести не удалось, что объясняется процессами резонансного автоотщепления электрона от отрицат. ионов. Результаты сопоставляются с полученными ранее эксперим. данными и данными неэмпирич. расчетов. Оценена величина $D_0(Sb_2^-) = 76,8 \pm 1,0$ ккал/моль. В ФЭС Sb_3^- наблюдались три пика с кинетич. энергией электронов 1,628; 1,471 и 0,22 эВ, отнесенные согласно результатам неэмпирич. расчетов к переходам из состояния $^3A'_2$ (D_3h) Sb_3^- в состояния 2A_2 , 2B_1 и 2A_2 (C_{2v}) Sb_3 соотв. Вертикальные энергии отщепления электрона от Sb_3^- и Sb_4^- с образованием нейтр. молекул в основном состоянии 1,90 и 1,57 эВ соотв. Библ. 39.

В. М. Ковба

1992

118: 157163h Photoelectron spectroscopy of small antimony cluster anions: antimony monatomic, diatomic, triatomic, and tetraatomic mononegative ions. Polak, Mark L.; Gerber, Gustav; Ho, Joe; Lineberger, W. C. (J.L. Inst., Univ. Colorado, Boulder, CO 80309 USA). *J. Chem. Phys.* 1992, 97(12), 8990-9000 (Eng). The authors report the 351 nm photoelectron spectra of Sb-, Sbr-, Sbs-, and Sb₄- . The electron affinity of at. Sb was 1.046(5) eV. The Sbr- photoelectron spectrum displays rich vibrational and electronic structure. Low-lying electronically excited states are obsd. for both the anion and the neutral. Several features in both the 351 and 364 nm photoelectron spectra of Sbr- cannot be explained as Franck-Condon processes, indicating that the authors are accessing autodetaching resonances of the neg. ion at these wavelengths. The adiabatic electron affinity of Sb₂ is 1.282(8) eV. For the photoelectron spectra of Sbs- and Sb₄- , the obsd. electronic structure is explained in terms of recently reported ab initio calcns. The adiabatic electron affinity of Sbs is 1.85(3) eV, and an upper bound on the electron affinity of Sb₄ is reported, EA (Sb₄) < 1.00(10) eV. The vertical detachment energies of Sbs- and Sb₄- to the neutral ground states are 1.90(2) and 1.57(5) eV, resp. The authors report photoelectron angular distributions for all the obsd. spectra, and find that the autodetaching resonance causes unusual angular distributions for Sbr- photodetachment. Finally, electron affinity trends for Group V atoms, dimers, and small clusters are discussed in light of the present study.

(Ae)

fd

C.A. 1993, 118, N16

1997

Sb (E)

128: 121210p Single- and Multiphoton Infrared Laser Spectroscopy of Sb⁻: A Case Study. Scheer, Michael; Haugen, Harold K.; Beck, Donald R. (Department of Physics and Astronomy, McMaster University, Hamilton, ON Can. L8S 4M1). *Phys. Rev. Lett.* 1997, 79(21), 4104–4107 (Eng), American Physical Society. A combination of single- and multiphoton tunable IR laser expts. is used to accurately and conclusively det. the bound terms and fine structure of Sb⁻ (5p⁴). The ³P₂ binding energy is 8447.86(15) cm⁻¹ (electron affinity of Sb) and the previously unobserved ³P₁, ³P₀, and ¹D₂ levels are found at 2684.37(15), 2800.8(6), and 7392.55(15) cm⁻¹ above the ³P₂ ground level, resp. Relativistic CI calcns. predict these splittings to be 2516, 2831, and 7628 cm⁻¹. Widths and shapes of resonances obsd. in 2-photon detachment yields are modeled from calcd. hyperfine structure consts.

C.A. 1998, 128, N10